

Studium degradačních změn PCB v závislosti na vnějších podmínkách

Vlasta Dudková, Stanislava Šolcová a Kateřina Demnerová



*VŠCHT Praha, Ústav biochemie a mikrobiologie, Technická 3,
Praha 6, 166 28*

Inovativní sanační technologie ve výzkumu a praxi

Žďár nad Sázavou

8. - 9. 10. 2008

Osnova

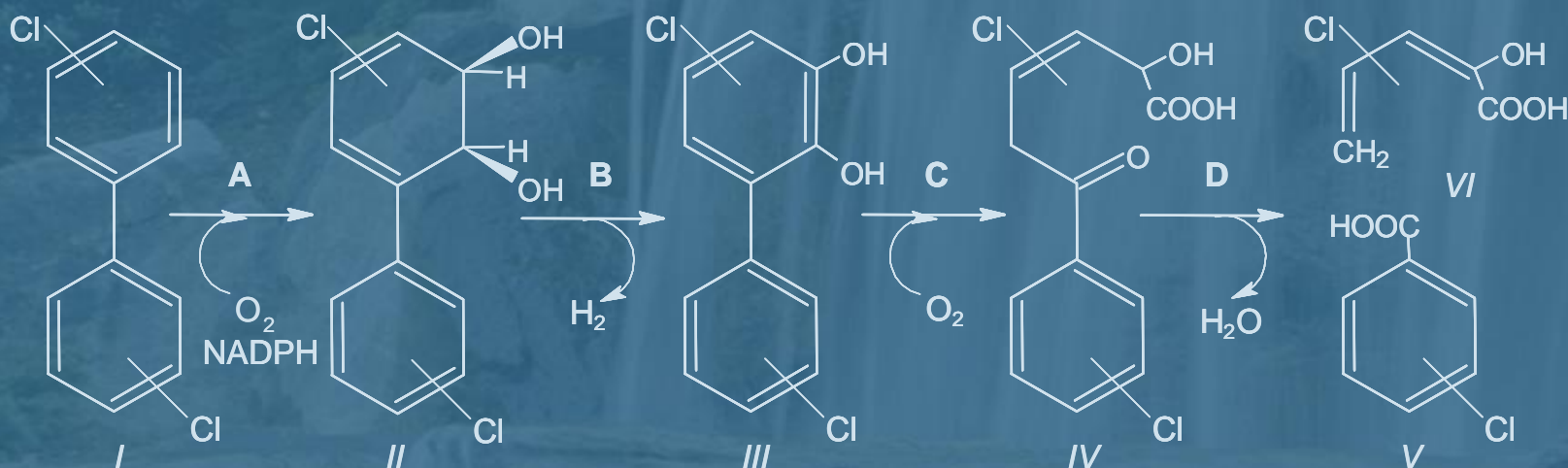
- Problematika PCB
- Cíle
- Naměřená data
- Závěr

Úvod - PCB

- Chlorace bifenulu
(209 kongenerů)
- Syntetický charakter
- Charakteristiky
(nehořlavé, nerozpustné v vodě, stabilní, odolné proti vysokým teplotám a elektrickému napětí, dlouhověkost)
- Průmyslové použití
(elektrická zařízení, teplotní výměníky, hydraulické systémy a další specializované aplikace)
- Toxický efekt
(bioakumulace v potravním řetězci)



Degradace PCB za aerobních podmínek



A: bifenyl-2,3-dioxygenasa (*bphA*)

B: bifenyldihydrogendifioldehydrogenasa (*bphB*)

C: 2,3-dihydroxybifenyl-1,2-dioxygenasa (*bphC*)

D: 2-hydroxy-6-oxo-6-fenylhexa-2,4-dienoáthydrolasa (*bphD*)

I: chlorbifenyl

II: cis-2,3-dihydro-2,3-dihydroxychlorbifenyl

III: 2,3-dihydroxychlorbifenyl

IV: 2-hydroxychlor-6-oxo-6-fenylhexa-2,4-dienová kyselina

V: chlorbenzoová kyselina

VI: 2-hydroxychlor-2,4-pentadienová kyselina

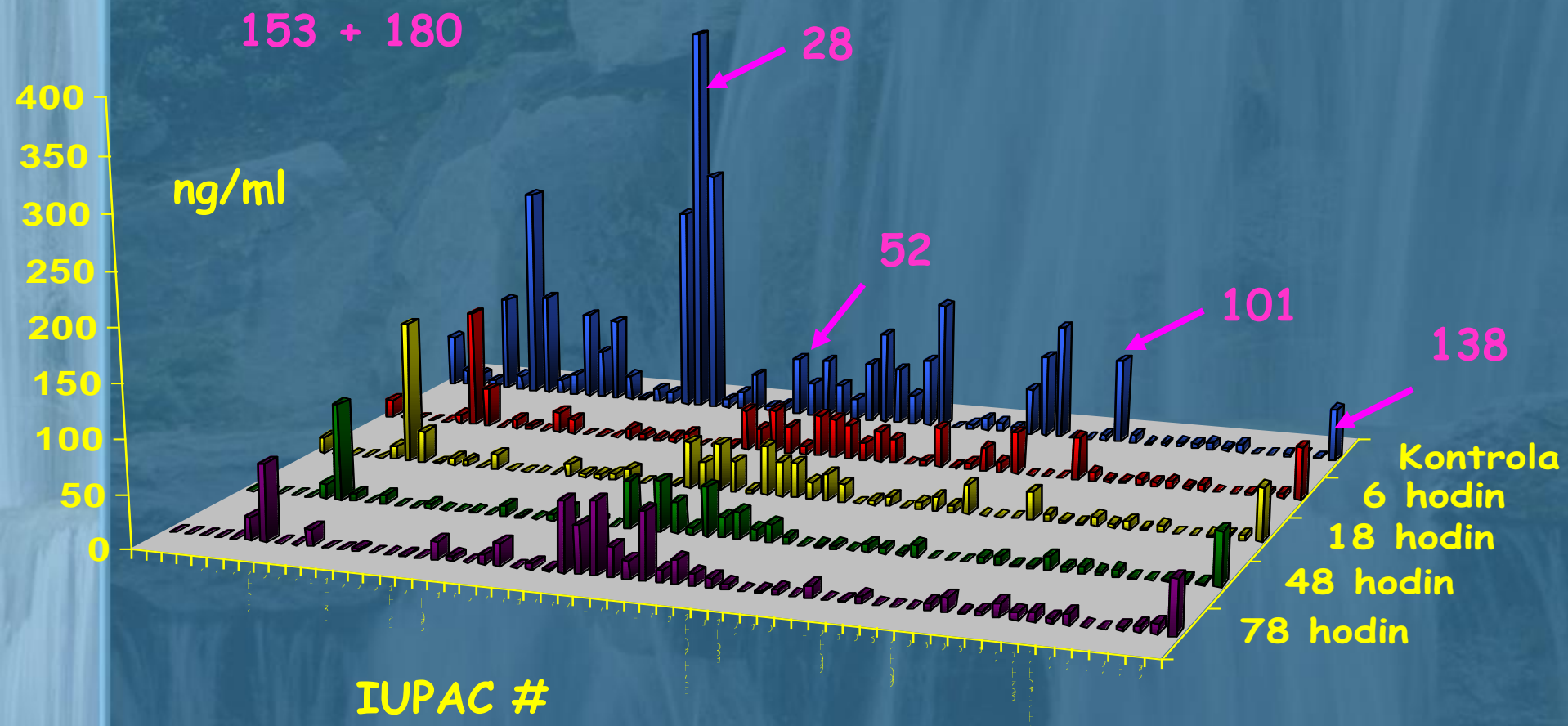
Popis testování degradačních změn

- Indukovaná bakteriální kultura o $T_{600} = 10^{-2}$
- Delor 103 (2 µg/ml) + ISTD (PCB 209 - 0,3 µg/ml)
- 48 hod inkubace
- Extrakce PCB - diethylether (6 hod)
- GC-µECD (DB-XLB; 30 X 0,25 X 0,25)
- Statistická analýza dat (Dixonův test; ANOVA)

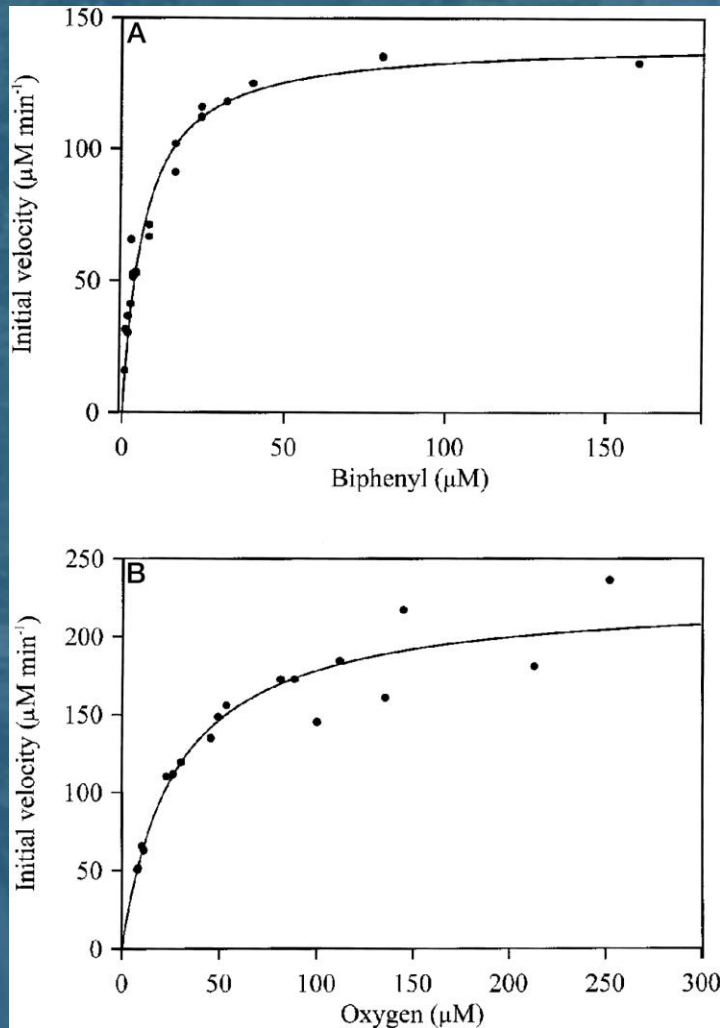
Frame, G. M. (1997): A collaborative study of 209 PCB congeners and Aroclors on 20 different HRGC columns - 1. Retention and coelution database. *Fresenius' Journal of Analytical Chemistry* 357: 701-713

Frame, G. M. (1997): A collaborative study of 209 PCB congeners and Aroclors on 20 different HRGC columns - 2. Semi-quantitative Aroclor congener distribution. *Fresenius' Journal of Analytical Chemistry* 357: 714-722

Proč *Pseudomonas pseudoalcaligenes* JAB-1?



Bifenyl v médiu ??

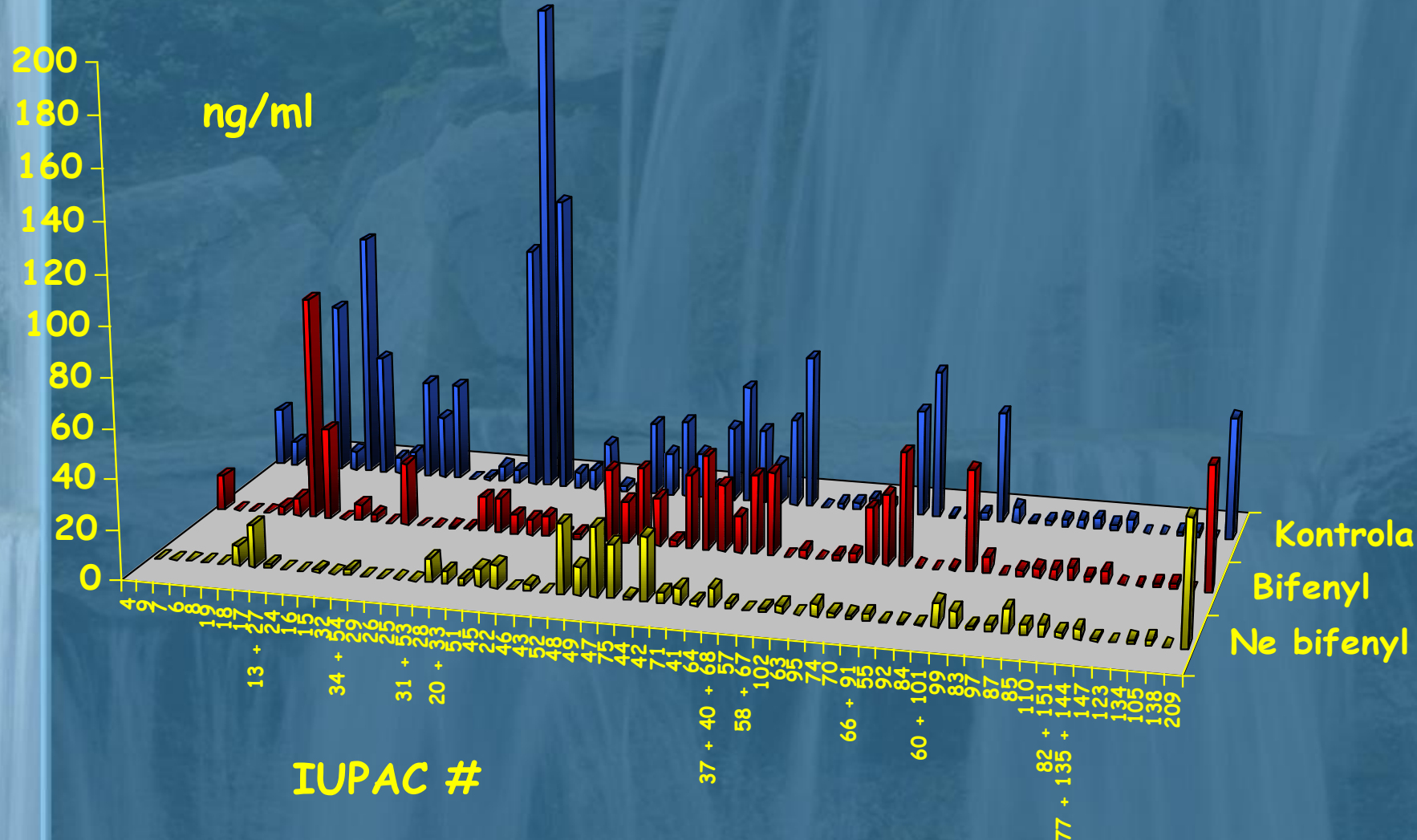


Induktor

Kompetitivní inhibitor

Postupné využívání substrátů

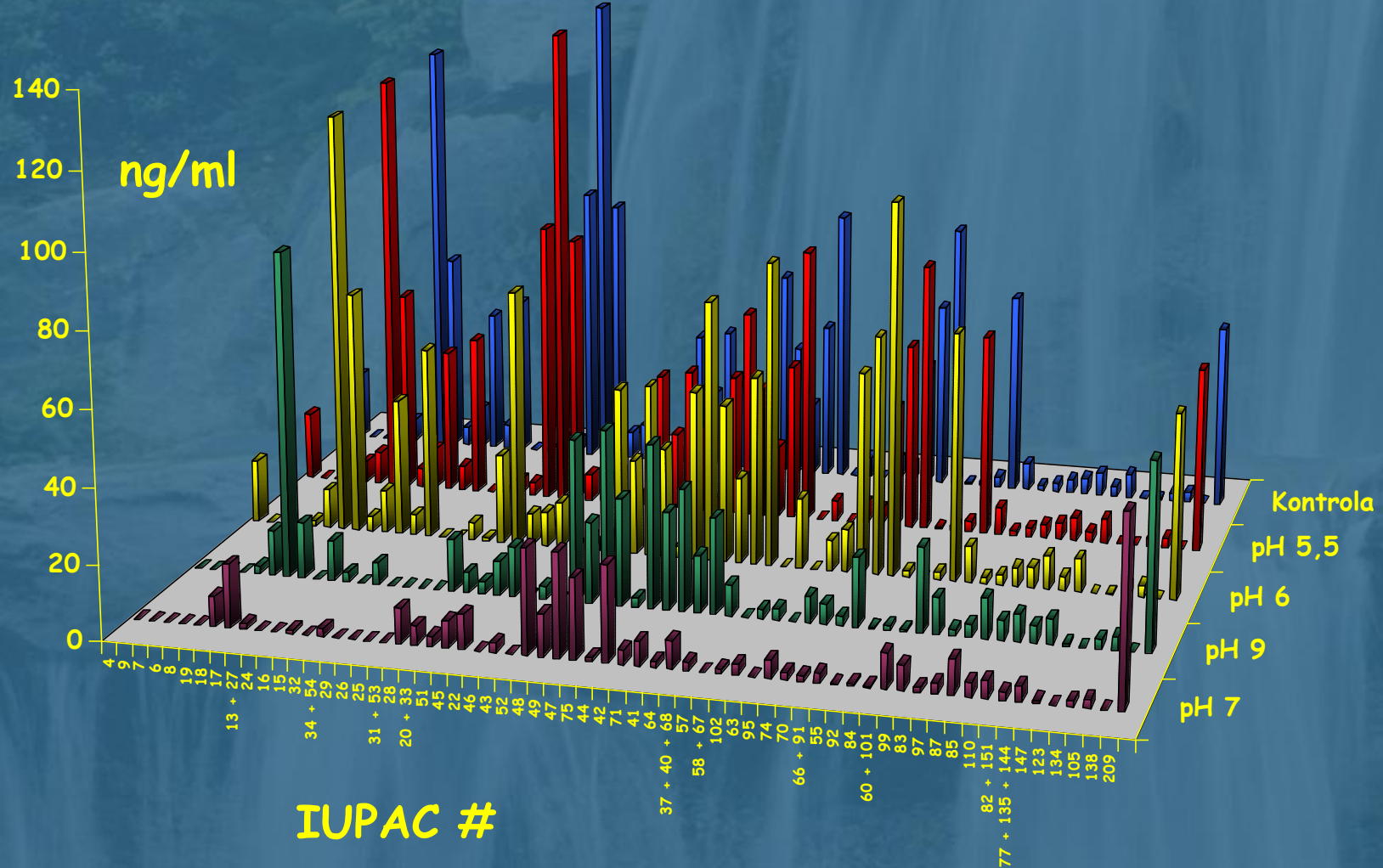
Bifenyl v médiu

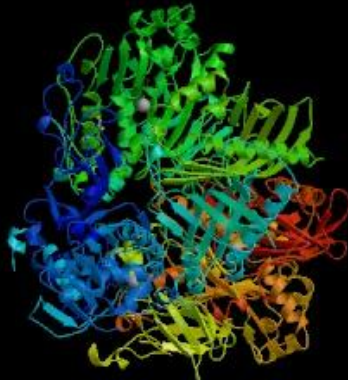


Závislost na pH

Jak se změní spektrum degradovatelných
kongenerů v závislosti na pH?

Kultivace při různém pH





Ovlivnění ionty

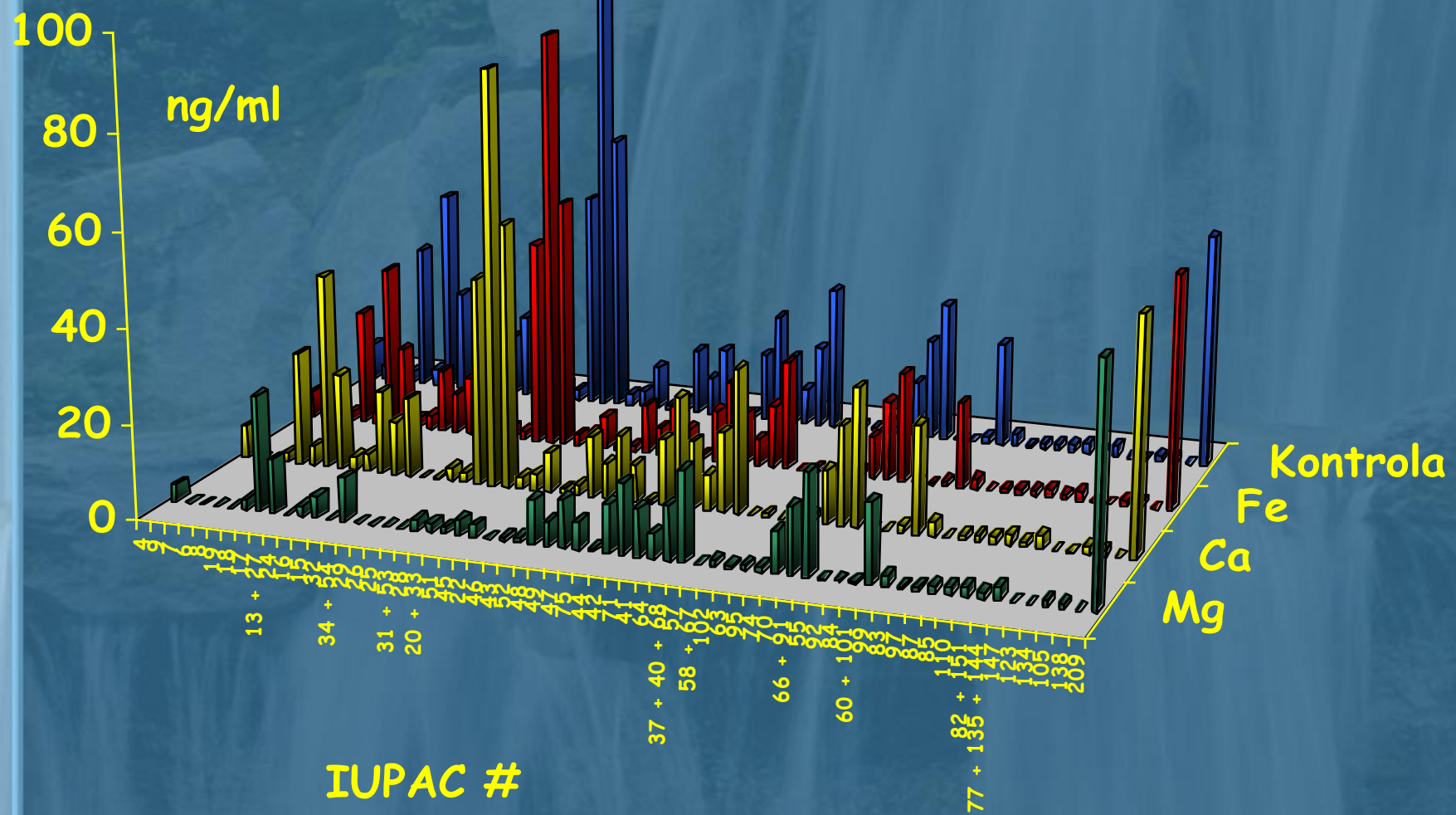
- Mg^{2+} - katalytické centrum - bifenyldioxygenasa
- Ca^{2+} - regulace přenašečů (transport PCB do buňky)
- Fe^{2+} - součást Fe-S proteinů (ferredoxin, bifenyldioxygenasa)

G- bakterie

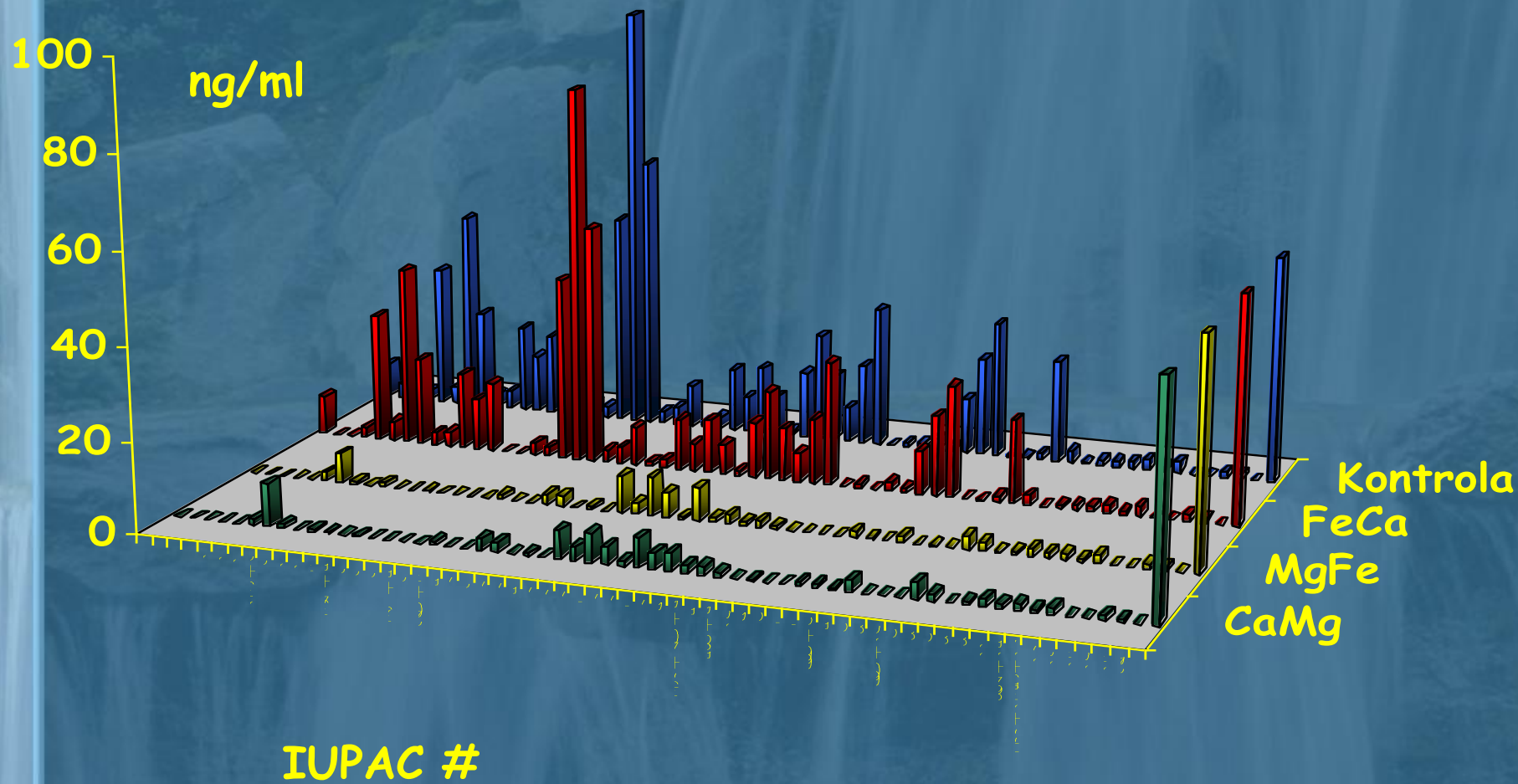
- Mg^{2+} - brání tvorbě pórů v membráně
- Divalentní ionty - redukce nábojových repulsí (vazba na LPS vnější membrány)

Sikkema J, de Bont J. A. M. a Poolman B. (1995): Mechanisms of membrane toxicity of hydrocarbons. *Microbiological reviews* 59 (2): 201-222
Segura A., Duque E., Mosqueda G., Ramos J. L. a Junker F. (1999) Multiple responses of Gram-negative bacteria to organic solvent. *Environmental Microbiology* 1(3): 191-198

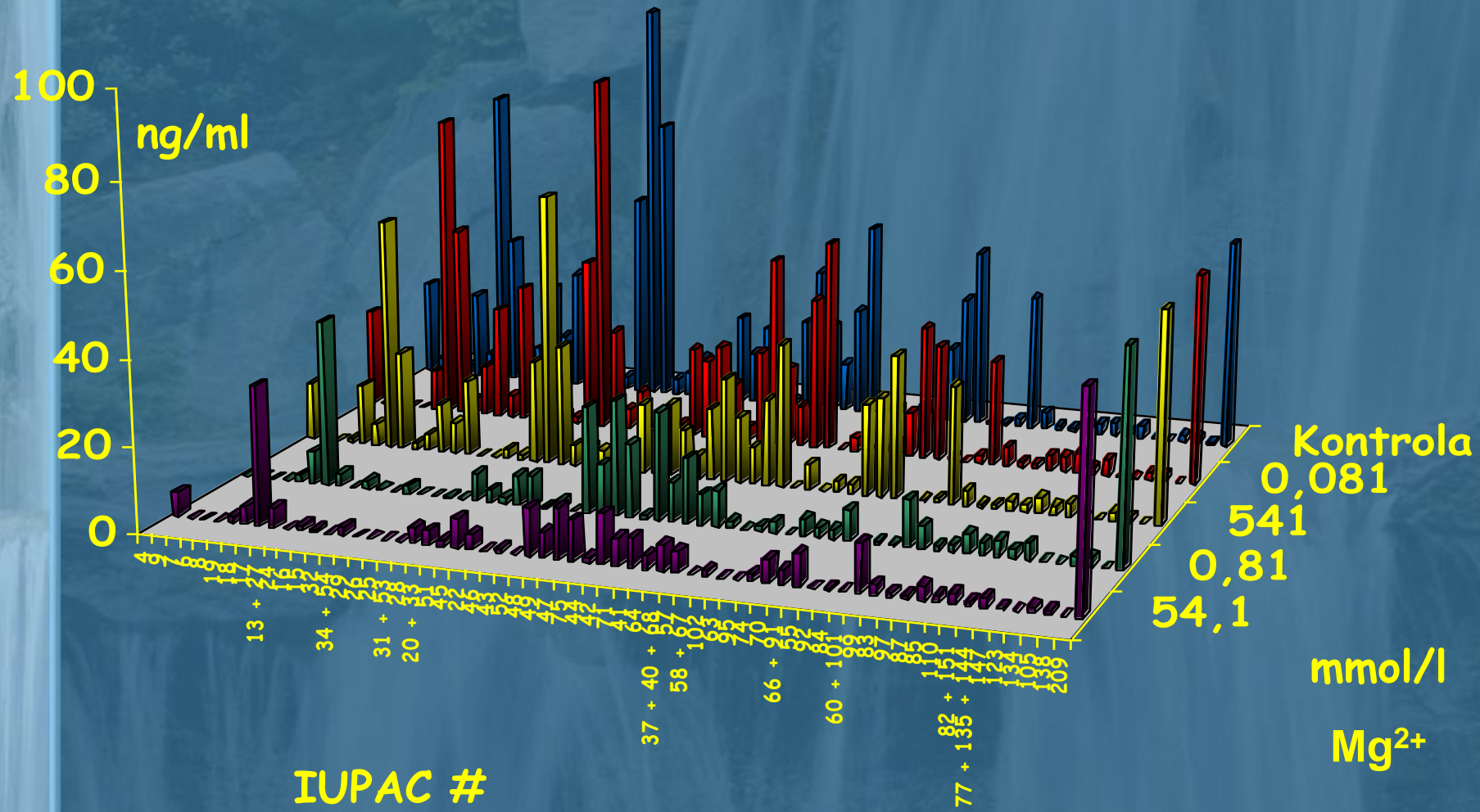
Ca^{2+} Mg^{2+} Fe^{2+}



Kombinace Ca^{2+} Mg^{2+} Fe^{2+}



Různé koncentrace Mg^{2+}



Závěry a diskuse

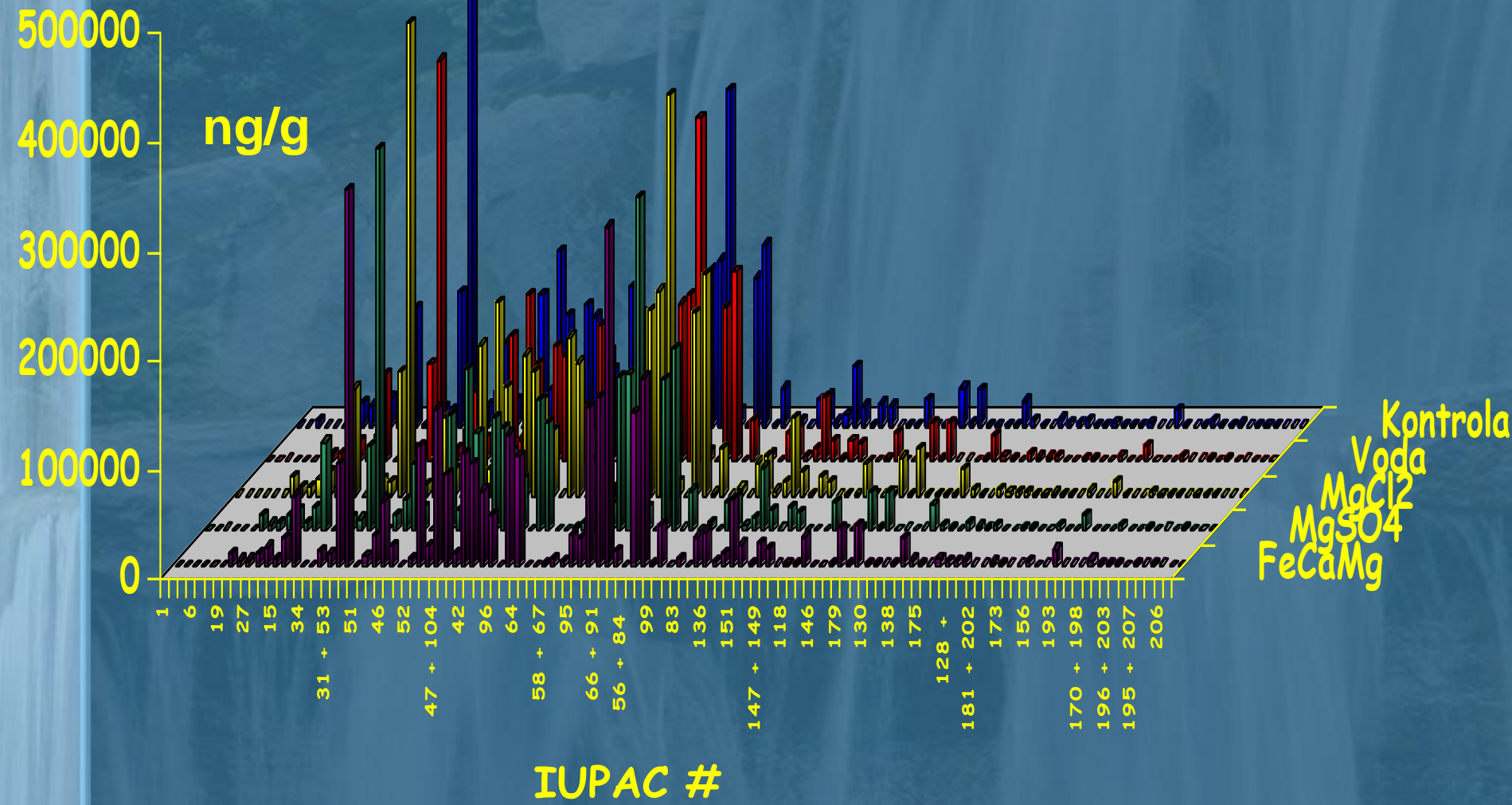
- pH: optimální 7
- Degradační reakce jen v přítomnosti Mg^{2+} iontů
- Koncentrace Mg^{2+} : optimální 1 - 50 mmol/l

Reálná půda

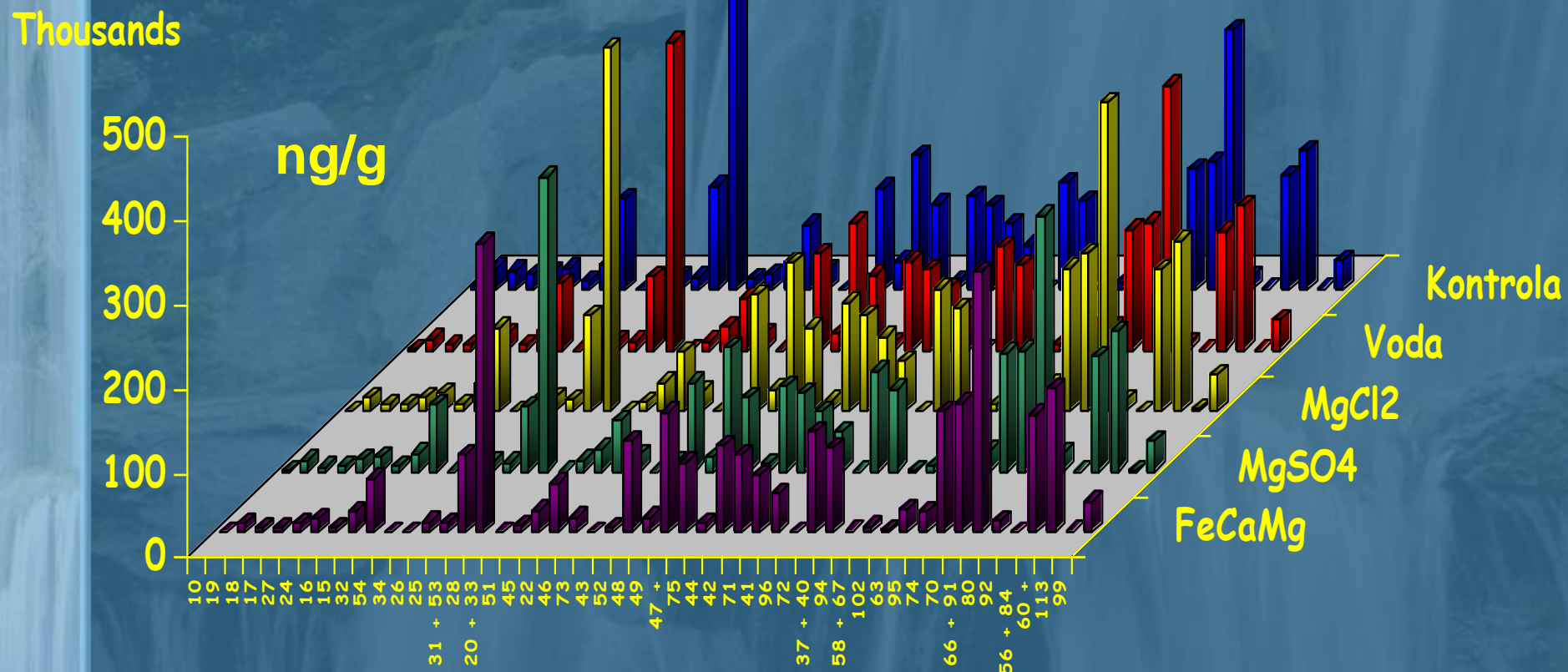
- Skladka Lhenice
- Půda větraná a zalévaná každých 14 dní
- Doba ošetřování: 150 dní

	µmol/l		µmol/l
NO_3^-	25	NH_4^+	1 500
SO_4^{2-}	850	Na^+	3 500
PO_4^{3-}	5 000	Ca^{2+}	12
HPO_4^{2-}	3 500	K^+	2 000
H_2PO_4^-	2 000	Mg^{2+}	80
		Fe^{2+}	4

Reálná půda



Reálná půda



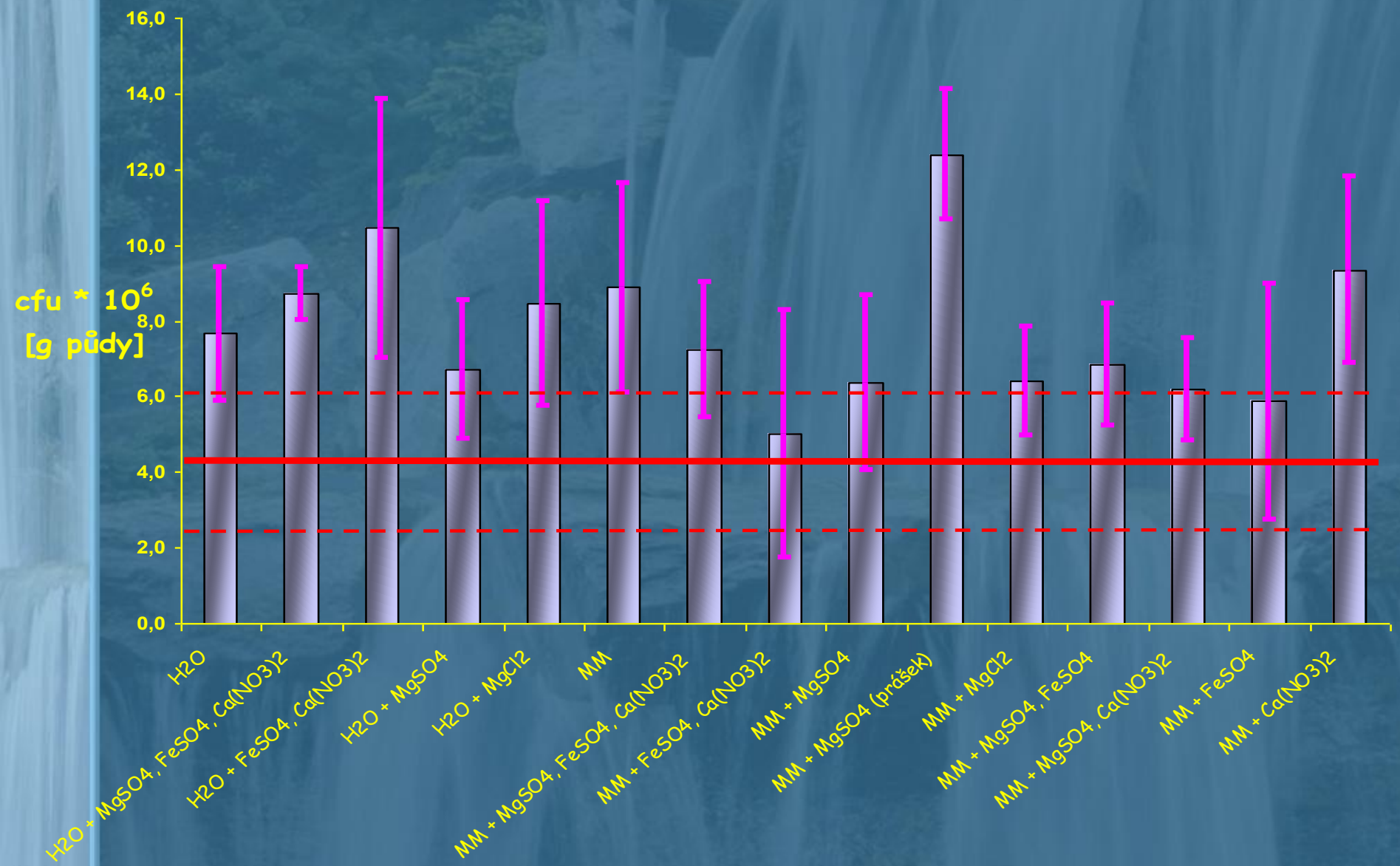
IUPAC

The background of the slide features a large, powerful waterfall cascading down a dark, rocky cliff face. The water is white and turbulent as it falls, creating a mist at the base. The cliff face is rugged and textured.

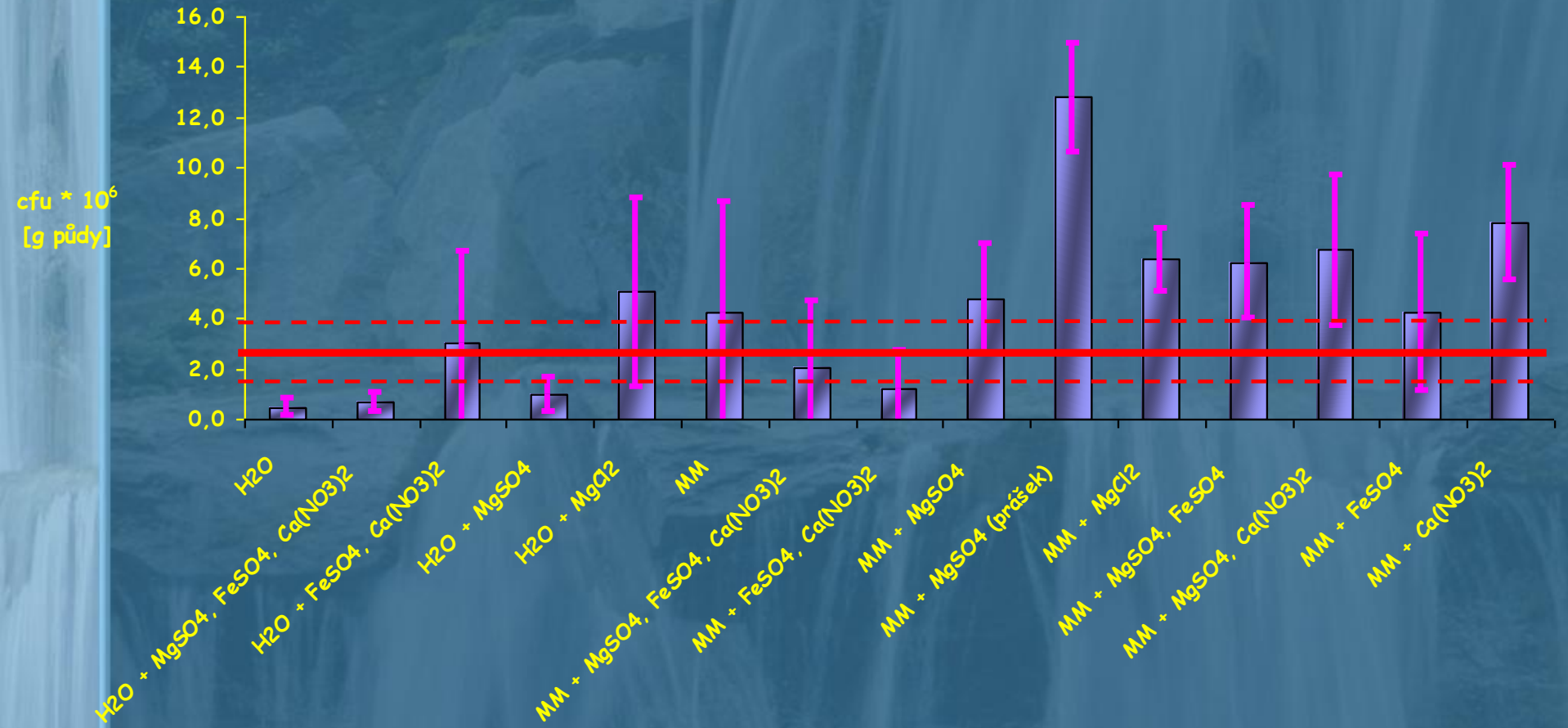
Děkuji za pozornost

Tato práce byla financována z výzkumných projektů
Centrum 1M06011 a NPV II 2B06151

Celkové počty MO na PCA



Celkové počty MO na MM



Analytické stanovení PCB pomocí GC/ μ -ECD

- Agilent 6890N
- DB-XLB (30 m × 0,25 mm × 0,25 μ m)
- N₂ (inlet - 45,1 ml/min; detektor 60 ml/min)
- Splitless (1 μ l vzorku)
- Isobaricky (0,993 bar)
- Teplota: inlet - 250 °C
pec: 50 °C (30 °C/min) 160 °C (2,5 °C/min) 300 °C
detektor - 340 °C

